

ROBOTIRÁNYÍTÁS

10. előadás Összetett gyakorlati példa

Dr. habil. Kovács Levente
egyetemi docens

kovacs.levente@nik.uni-obuda.hu

Dr. Haidegger Tamás
egyetemi adjunktus

haidegger@irob.uni-obuda.hu



Élettani
Szabályozások
Csoport
Óbudai Egyetem

Az előadás témája és célja

Ebben az előadásban egy összetett gyakorlati példán keresztül mutatjuk be a PI-szabályozótervezést, a rendszer dinamikai modelljének vizsgálatától kezdve a szimulációs eredmények bemutatásáig. Az előadás célja, hogy a hallgatók egészében megismerjék a szabályozótervezés folyamatát. Láthatjuk majd, hogyan fejlődik ki a szabályozótervezés a dinamikai rendszert leíró egyszerű, a középiskolai tanulmányokból is ismert fizikai összefüggésekből. A frekvenciatartományban történő komplex számítások helyett ebben a példában a Bode-diagram átfogóbb értelmezésére lesz szükség, ugyanis a szabályzási paraméterek meghatározása elsősorban grafikus úton, a Bode-diagram manipulációjával történnek. A számításokat a MATLAB programcsomag segítségével ellenőrizzük majd.

Kulcsszavak

PI-szabályozótervezés, Bode-diagram, dinamikai modell, rendszeregyenlet, grafikus megoldás, műveletek logaritmikus tengelyeken

Tartalomjegyzék

1. A modell áttekintése	4
2. A rendszer átviteli függvényének levezetése	5
2.1. A DC-motor áramköre	5
2.2. A kormánykerék kapcsolata.....	6
2.3. A kormánymű mechanikája	7
2.4. A rendszer elemeinek egyesítése	8
3. Soros PI-szabályozó tervezése.....	9

1. A modell áttekintése

Az alábbi gyakorlati példában egy DC-motorral hajtott, autókban található kormánymű leegyszerűsített modelljén mutatjuk be a soros PI-kompenzációt, lépésről lépésre.

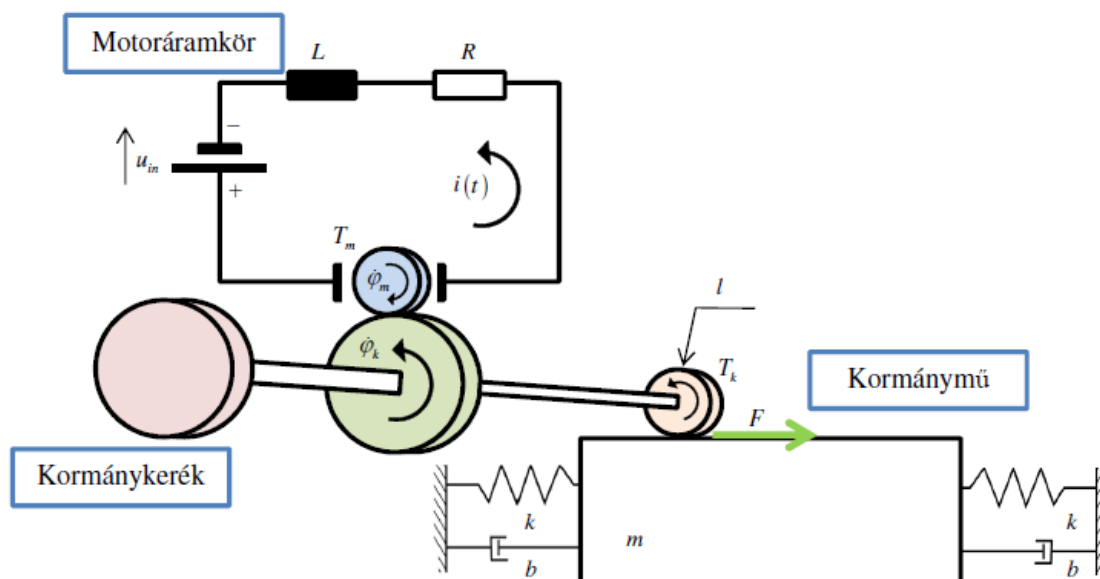
A rendszer bemenete a DC-motorra kapcsolt feszültség, kimenete pedig a kormány szögelfordulása.

A modell két fő komponensből épül fel:

1. a DC-motor áramköre
2. a motor által meghajtott mechanizmus

A komponensek egyéni viselkedését és kapcsolatát a fizikai törvények alapján matematikai összefüggésekkel írjuk le. A végső összefüggés a rendszer átviteli függvénye, melyhez a konvencionális PI-szabályozótervezési módszerek segítségével tervezünk szabályozót.

A kormánymű dinamikai modellje az 1. ábrán látható.



1. ábra: A kormánymű egyszerűsített dinamikai modellje

A rendszer paraméterei:

u_{in} - a DC-motoráramkörre kapcsolt feszültség, a rendszer bemenete

φ_k - a kormány szöghelyzete, a rendszer kimenete

i - a DC-motoráramkör hurokárama

R - a motoráramkör lineáris ellenállása

L - a motoráramkör induktív ellenállása

φ_m - a DC-motor tengelyének szöghelyzete

r - a DC-motor és a kormány tengelyei közötti fogaskerék-áttétel

l - a kormánymű fogaslécét meghajtó fogaskerék sugara

m - a kormánymű tömege

k - a kormánymű rugalmassága

b - a kormánymű csillapítása

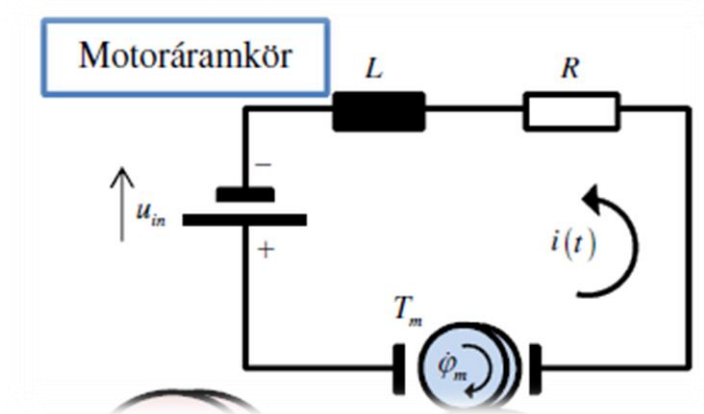
F - a kormányműre a fogasléc által ható erő

T_k - a kormány tengelyére a kormányműről visszaható nyomaték

2. A rendszer átviteli függvényének levezetése

2.1. A DC-motor áramköre

A felhasználandó egyenletek levezetéséért a DC-motor áramkörével kezdjük (2. ábra).



2. ábra: A DC- motor áramköre

Az áramkörben u_{in} feszültség hatására $i(t)$ áramerősség jelenik meg. Az áramkör egyes tagjain eső feszültségek előjeles összege zérus, így felírható, hogy

$$u_{in} - u_R - u_L - u_{EMF} = 0 \quad (1)$$

A lineáris ellenálláson eső feszültség Ohm törvénye alapján:

$$u_R(t) = Ri(t) \quad (2)$$

A tekercsen eső feszültség arányos az áramerősség változásával:

$$u_L(t) = L \frac{di(t)}{dt} \quad (3)$$

A Lenz-szabály alapján a motor tekercseiben indukálódó áram a motor fordulatszámaával arányos feszültséget (elektromotoros erő) hoz létre:

$$u_{EMF}(t) = \dot{\varphi}_m(t) \cdot K_E \quad (4)$$

K_E a motorállandó, DC-motorra jellemző, katalógusból leolvasható mennyiség, $\dot{\varphi}_m$ pedig a motor fordulatszáma.

Behelyettesítve az (1) egyenletbe:

$$u_{in}(t) = Ri(t) + L \frac{di(t)}{dt} + K_E \dot{\varphi}_m(t) \quad (5)$$

A motoráramkör kimenete a motor által kifejtett T_m nyomaték, ez teremti majd meg a kapcsolatot a kormánymű mechanikájával. DC-motorok esetén a motor által kifejtett nyomaték egyenesen arányos a motoráramkör hurokáramával:

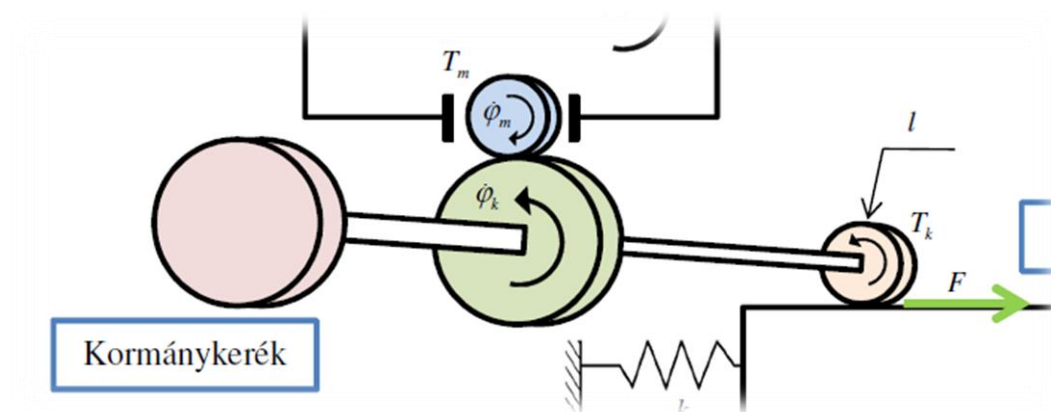
$$T_m(t) = K_M i(t) \quad (6)$$

K_M motorállandó értéke szintén katalógusból kiolvasható. A mérnöki gyakorlatban a két motorállandó értékét azonosnak vesszük, azaz:

$$K_M = K_E = K \quad (7)$$

2.2. A kormánykerék kapcsolata

A motor kimeneti tengelye fogaskereken keresztül (kék) csatlakozik a kormánytengelyhez (zöld). A fogaskerek közötti áttétel felhasználásával (3. ábra).



3. ábra: A kormánykerék kapcsolata

$$\dot{\varphi}_m = r \dot{\varphi}_k \quad (8)$$

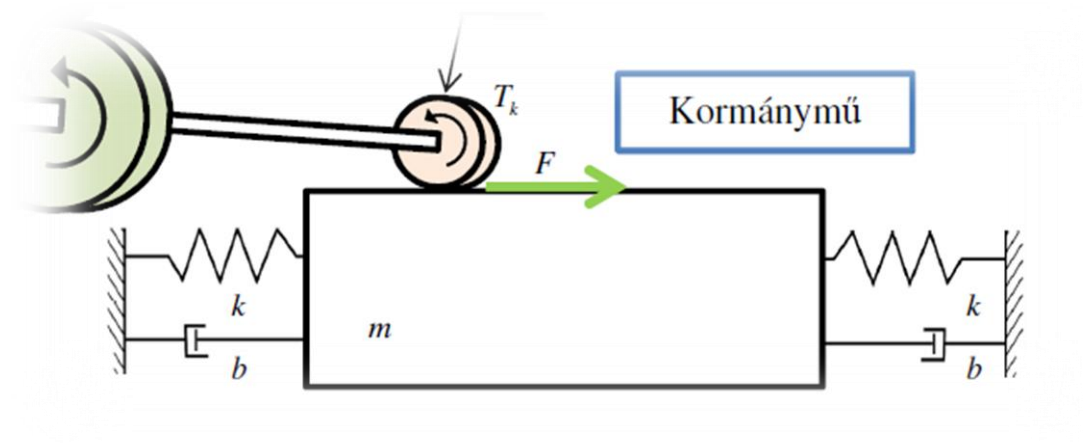
$$T_m = \frac{1}{r} T_k \quad (9)$$

Mivel a kormány tengelye merev, a T_k nyomaték megjelenik a halványpiros fogaskeréken is, mely a testre F erőt gyakorol. Az erőkar ismeretében ez az erő megegyezik a nyomaték és a kerék sugarának hányadosával:

$$F = \frac{T_k}{l} \quad (10)$$

2.3. A kormánymű mechanikája

Az m tömegű test két-két rugó és csillapítás elemen keresztül kapcsolódik a merev falhoz – ami esetünkben a rugalmas kerekek és a merev talaj kapcsolatát jelenti (4. ábra). Az ismert összefüggéseket felhasználva a rendszer mozgásegyenlete:



4. ábra: A kormánymű mechanikája

$$m\ddot{x} + 2b\dot{x} + 2kx = F \quad (11)$$

A test elmozdulása megegyezik a halványpiros fogaskerék elfordulásához tartozó ívhosszal, ami megteremti a kapcsolatot x elmozdulás és φ_k szögelfordulás között:

$$x = \varphi_k \cdot l \quad (12)$$

2.4. A rendszer elemeinek egyesítése

Felírásra kerültek a szükséges fizikai összefüggések. A feladat: a bemeneti és kimeneti változók kifejezése a modellparaméterek függvényében. A rendelkezésre álló egyenletek:

$$u_{in}(t) = Ri(t) + L \frac{di(t)}{dt} + K\dot{\phi}_m(t) \quad (5)$$

$$T_m(t) = Ki(t) \quad (6)$$

$$\dot{\phi}_m = r\dot{\phi}_k \quad (8)$$

$$T_m = \frac{1}{r}T_k \quad (9)$$

$$F = \frac{T_k}{l} \quad (10)$$

$$m\ddot{x} + 2b\dot{x} + 2kx = F \quad (11)$$

$$x = \varphi_k \cdot l \quad (12)$$

Kifejezhetők a bemenő és kimenő változók:

$$F = l(m\ddot{\phi}_k + 2b\dot{\phi}_k + 2k\varphi_k) \quad (11,12 \text{ egyenletekből}) \quad (13)$$

$$T_k = l^2(m\ddot{\phi}_k + 2b\dot{\phi}_k + 2k\varphi_k) \quad (10,13 \text{ egyenletekből}) \quad (14)$$

$$r \cdot T_m = l^2 \left(m \frac{1}{r} \ddot{\phi}_m + 2b \frac{1}{r} \dot{\phi}_m + 2k \frac{1}{r} \varphi_m \right) \quad (8,9,14 \text{ egyenletekből}) \quad (15)$$

$$K \cdot i = \frac{l^2}{r^2} (m\ddot{\phi}_m + 2b\dot{\phi}_m + 2k\varphi_m) \quad (6,15 \text{ egyenletekből}) \quad (16)$$

A Laplace-transzformációt elvégezzük az (5) és (16) egyenleteken:

$$U(s) = RI(s) + LsI(s) + K\Phi_m(s)s \rightarrow I(s) = \frac{U(s) - K\Phi_m(s)s}{Ls + R} \quad (17)$$

$$KI(s) = \frac{l^2}{r^2} (ms^2\Phi_m(s) + 2bs\Phi_m(s) + 2k\Phi_m(s)) \quad (18)$$

Az (17) és (18) egyenletekből $I(s)$ kifejezhető, így a kifejezés tovább egyszerűsödik:

$$K \frac{U(s) - Ks\Phi_m(s)}{Ls + R} = \frac{l^2}{r^2} (ms^2\Phi_m(s) + 2bs\Phi_m(s) + 2k\Phi_m(s)) \quad (19)$$

A kimenő és bemenő jelek arányát kifejezve a rendszer átviteli függvénye meghatározható:

$$W(s) = \frac{\Phi_k(s)}{U(s)} = \frac{\frac{Kr}{l^2}}{(Ls + R)(ms^2 + 2bs + 2k) + \frac{K^2 r^2}{l^2} s} \quad (20)$$

Legyenek a rendszer fizikai paraméterei a következők:

$$K = 0.15 [Vs]$$

$$r = 100 [-]$$

$$l = 0.1 [m]$$

$$L = 10 [H]$$

$$R = 350 [\Omega]$$

$$m = 80 [kg]$$

$$b = 25 [Ns/m]$$

$$k = 1 [N/m]$$

Behelyettesítve az átviteli függvénybe, ismerős alakra hozható a kifejezés:

$$W(s) = \frac{\Phi_k(s)}{U(s)} = \frac{1500}{800s^3 + 28500s^2 + 40000s + 700} \quad (21)$$

3. Soros PI-szabályozó tervezése

A rendszer pólusai meghatározhatóak a MATLAB vagy más numerikus számításokat végző programcsomag, segítségével, ennek hiányában pedig más közelítő módszerek, pl. a Newton-Raphson módszer segítségével.

A rendszer pólusai azok az s értékek, melyekre a nevező értéke zérus. Ezek az értékek a következők:

$$\begin{aligned} p_1 &= -0.0177 \\ p_2 &= -1.4451 \\ p_3 &= -34.1621 \end{aligned}$$

Az átviteli függvény tehát felírható a következő alakban:

$$W(s) = \frac{1500}{800} \frac{1}{(s + 34.1621)(s + 1.4451)(s + 0.0177)} \quad (22)$$

A gyakorlatban célszerű a rendszer *időállandós* alakját alkalmazni, melynek lényege, hogy a nevezőben található szorzat tagjainak konstans tagja (ha van) egységnyi legyen:

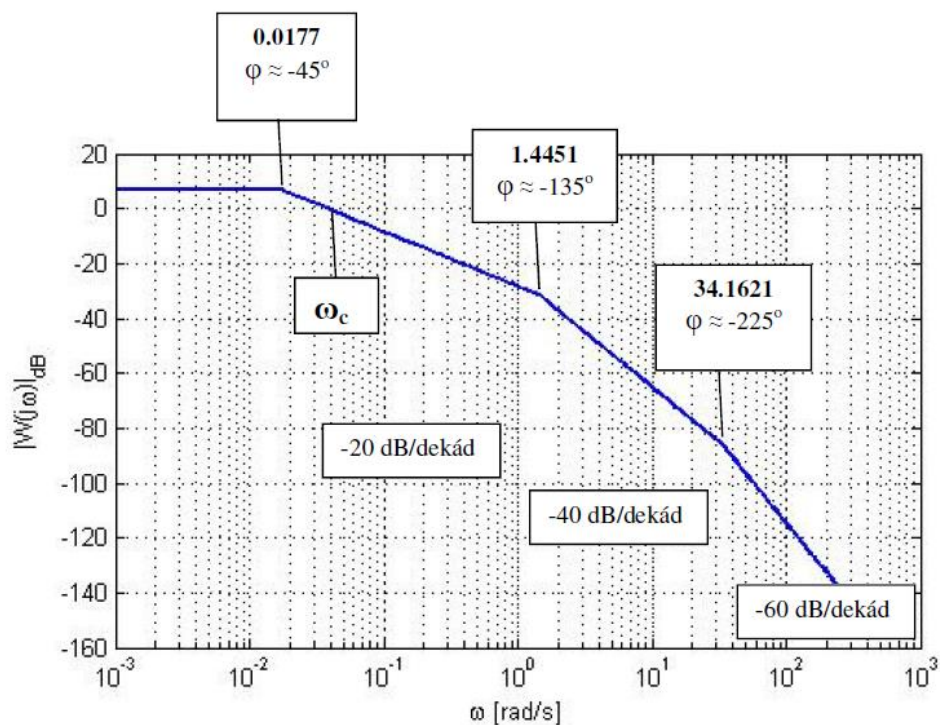
$$W(s) = \frac{1.875}{34.1621 \cdot \left(\frac{1}{34.1621}s + 1\right) \cdot 1.4451 \cdot \left(\frac{1}{1.4451}s + 1\right) \cdot 0.0177 \cdot \left(\frac{1}{0.0177}s + 1\right)} \quad (23)$$

$$W(s) = \frac{2.146}{(0.0273s + 1)(0.692s + 1)(56.4s + 1)} \quad (24)$$

Az időállandók:

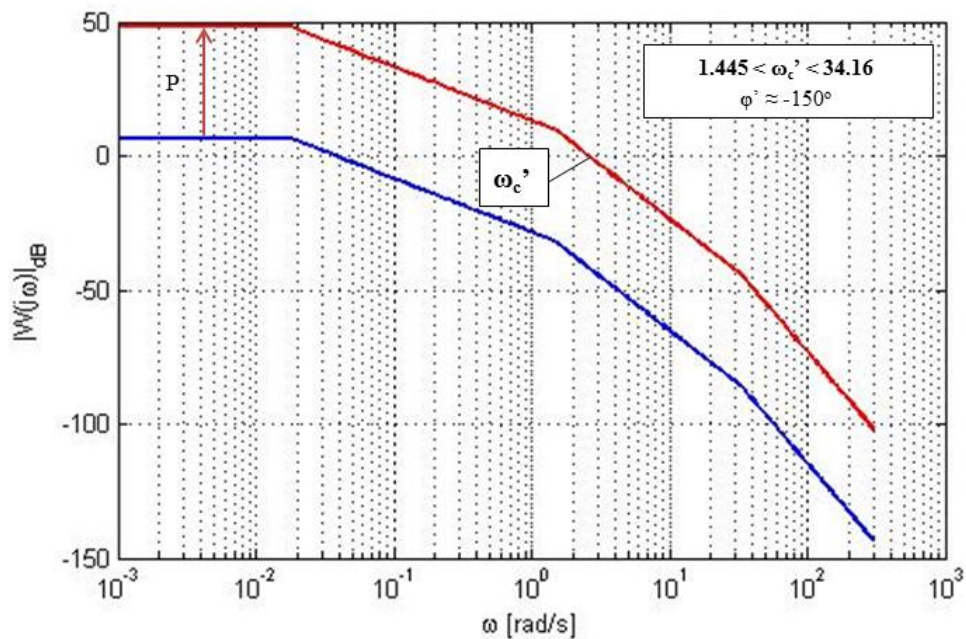
$$\begin{aligned} T_1 &= 56.4 \text{ sec} \\ T_2 &= 0.692 \text{ sec} \\ T_3 &= 0.0273 \text{ sec} \end{aligned}$$

A rendszer Bode-diagramja megszerkeszthető a szokásos módon, közelítő integráló tagok segítségével. A bekeretezett értékek a törési frekvenciákat mutatják, ω_c a vágási körfrekvencia.



5. ábra: A rendszer közelítő Bode-diagramja

A cél egy olyan PI szabályzó tervezése, mely a Bode-diagramot párhuzamosan eltolja önmagával úgy, hogy a 0 dB értéket $\varphi' = 150^\circ$ értéknél metssze (fázistartalék: $\varphi' = 150^\circ$). Először a *P-szabályzót* tervezzük meg a 6. ábrán látható módon.

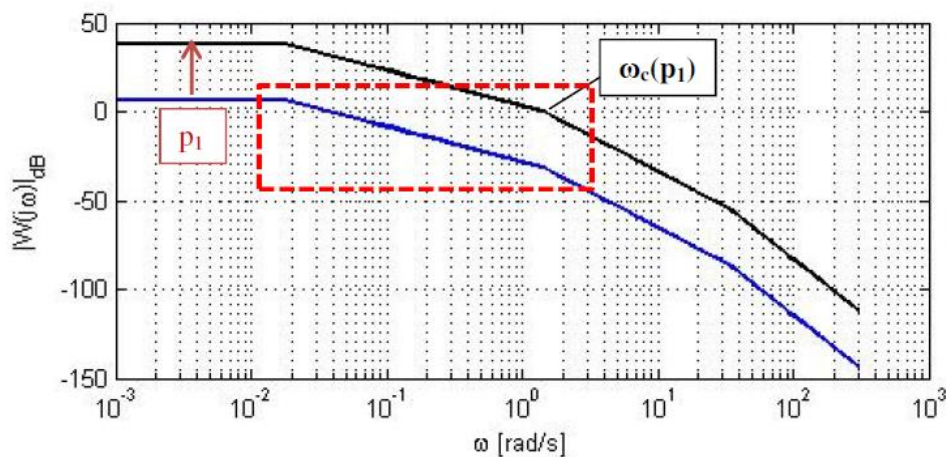


6. ábra: A P-szabályozóval elérni kívánt állapot

A P-szabályozóval piros színnel jelzett görbét kívánjuk előállítani. Az új vágási körfrekvencia, ω_c a második és a harmadik töréspont között helyezkedik el, hiszen a második töréspontban a fázis elméleti értéke csak $\varphi = 135^\circ$, a második töréspontban pedig már $\varphi = 255^\circ$.

Az elérni kívánt fázis azonban $\varphi' = 150^\circ$. A feladat megoldásához nincs közvetlenül szükség a Bode-fázisdiagram megszerkesztésére, de érdemes ellenőrzésképpen felrajzolni azt.

A P értékkel való eltolás a kétszeres törés miatt két lépésben kerül elvégzésre. Először a Bode-diagramot önmagával párhuzamosan eltoljuk felfelé addig, amíg a második töréspont rá nem fekszik a 0 dB tengelyre, mint ahogyan az a 7. ábrán is látható:



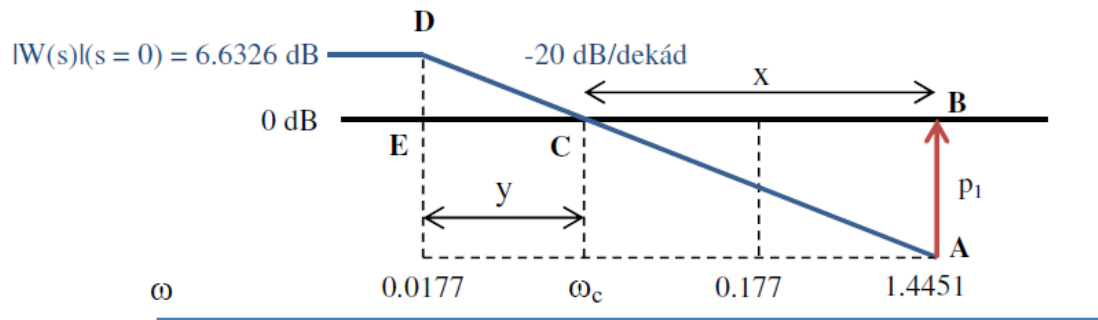
7. ábra: A Bode-diagram eltolásának első fázisa

Az így meghatározott új vágási körfrekvencia:

$$\omega_c^{p_1} = \frac{1}{T_2} = 1.445 \frac{\text{rad}}{\text{s}} \quad (25)$$

Az eltolás valójában egy arányos taggal való szorzást jelent. Kérdés: mekkora legyen p_1 ?

A meghatározáshoz szükség lesz a piros szaggatott vonallal jelzett terület külön vizsgálatára:



8. ábra: A 7. ábrán piros szaggatott vonallal jelzett terület vizsgálata

Első lépésként a **DEC** háromszöget vizsgáljuk. **C** pont a vágási körfrekvencia, melynek pontos értékét nem ismerjük, de kiszámíthatjuk. **D** pontban a nagyítás értéke kiszámítható a megfelelő behelyettesítéssel:

$$\overline{DE} = |W(j\omega)|_{\omega=0.0177 \text{ rad/s}} \quad (26)$$

A számítást könnyebbé tehetjük, ha a közelítő értéket határozzuk meg, hiszen a nagyítás állandó az $\omega < 0.0177 \text{ rad/s}$ tartományban (a Bode-diagram itt vízszintesen fut). Tehát közelítve:

$$\overline{DE} \approx |W(j\omega)|_{\omega=0} = 2.146 = 6.6326 \text{ dB} \quad (27)$$

Fontos megjegyezni, hogy a két érték némileg eltérhet egymástól, hiszen jelen esetben a Bode-diagramot tört vonalakkal helyettesítettük, holott a valóságban az átmenet a töréspontoknál „lekerekített”.

A logaritmikus skálán a vágási körfrekvencia értékét a következőképpen kell kifejeznünk:

$$\omega_c = 0.0177 \cdot 10^y \quad (28)$$

y az **EC** szakasz hossza, a **DEC** háromszög **DC** oldalának meredeksége pedig 20 dB . Ebből következik, hogy a **DE** szakasz hossza az **EC** oldal hosszának és a **DC** meredekségének szorzata, azaz:

$$\overline{DE} = 6.6326 \text{ dB} = 20 \frac{\text{dB}}{\text{dekád}} \cdot y = 20 \cdot \log\left(\frac{\omega_c}{0.0177}\right) \quad (29)$$

A szabályozatlan rendszer közelítő vágási körfrekvenciája tehát:

$$\omega_c = 0.0177 \cdot 10^{\frac{6.6326}{20}} = 0.0379 \frac{\text{rad}}{\text{s}} \quad (30)$$

A p_1 arányos nagyítással, ami valójában a $W(s)$ átviteli függvény elé kerülő konstans szorzó, a Bode-diagramot úgy toljuk el, hogy az **A** pont a **B** pontba kerüljön. Ehhez most az **ABC** háromszög vizsgálatára van szükség. **A** vágási körfrekvencia ismeretében már ismert az **AB** távolság, ha a **B** pont frekvenciáját az **A** pontban levő frekvenciával fejezzük ki:

$$\omega(B) = 1.4451 \text{ rad/s} = \omega(C) \cdot 10^x = 0.0379 \cdot 10^x \quad (31)$$

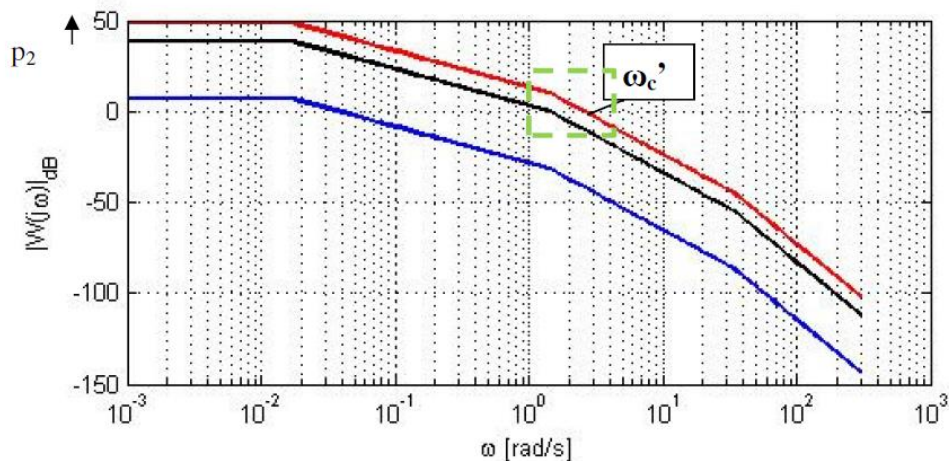
x azt fejezi ki, hogy hány dekád távolságra van **C** pont **B** ponttól. Egy dekád ($x = 1$) esetén $\omega(C)$ pontosan tízszerese lenne $\omega(B)$ értékének, két dekád ($x = 2$) esetén százszorosa, stb. Ha megoldjuk a fenti egyenletet, x értékére a következő adódik:

$$1.4451 = 0.0379 \cdot 10^x \rightarrow x = \log\left(\frac{1.4451}{0.0379}\right) = \log(38.1293) = 1.5813 \quad (32)$$

Az **AB** szakasz hossza a korábbiakkal összhangban, mely egyben a p_1 erősítés értéke is, a következőképpen számolható:

$$\overline{AB} = p_1 = 20 \frac{\text{dB}}{\text{dekád}} \cdot 1.5813 \text{ dekád} = 31.626 \text{ dB} \quad (33)$$

A következő lépésben p_2 értéke kerül meghatározásra. Ebben az esetben a fekete színnel jelzett görbét toljuk el párhuzamosan a piros színnel jelzett görbének fedésébe úgy, hogy a 0 dB tengelyt a kívánt ω'_c körfrekvenciában vágja át:



9. ábra: A Bode-diagram eltolásának második fázisa

Mielőtt meghatároznánk p_2 értékét, szükségünk van ω'_c értékére, melyet mi határozunk meg a kijelölt fázistartalék alapján. Mivel a függőleges eltolás nem módosítja a Bode-fázisdiagram alakját, ezért ω'_c értékét az eredeti rendszer alapján, pontosabban annak egy jó közelítésének alapján számítjuk ki.

A $\varphi_t = 30^\circ$ fázistartalék értéke, azaz a rendszer fázisa ebben a pontban:

$$\varphi = \varphi_t - 180^\circ = 30^\circ - 180^\circ = 150^\circ \quad (34)$$

Az átviteli függvény ismeretében a fázis a körfrekvencia függvényében kiszámítható:

$$\varphi(\omega) = \arctan \frac{\operatorname{Im}\{W(j\omega)\}}{\operatorname{Re}\{W(j\omega)\}} \quad (35)$$

Belátható, hogy ez a kifejezés kézzel kiszámítva hosszadalmas folyamat, hiszen a $W(j\omega)$ rendszer nevezőjében harmadfokú polinom áll. A számítás kivitelezhető, de a kifejezésben megjelenő ω^3 nehézkessé teszi a zárt alakú megoldás megtalálását.

Ha a rendszer két legkisebb időállandóhoz tartozó törése, ebben az esetben T_2 és T_3 kellően messze vannak egymástól (a „kellően” szó némi mérnöki intuíciót is takar, a valóságban egymásnak legalább kétszerese a két érték), akkor a kisebbik időállandójú tagot egyszerűen elhagyhatjuk a számítások egyszerűsítésének érdekében.

A módosított átviteli függvény ezért így alakul:

$$W'(s) = \frac{2.146}{\cancel{(0.0273s + 1)}(0.692s + 1)(56.4s + 1)} = \frac{2.146}{(0.692s + 1)(56.4s + 1)} \quad (36)$$

Feltételezve, hogy a közelítés nem befolyásolja a számítások eredményét számottevően, a fázisra vonatkozó összefüggés a következő:

$$W'(s) = \tan \varphi(\omega'_c) = \frac{\operatorname{Im}\{W'(j\omega'_c)\}}{\operatorname{Re}\{W'(j\omega'_c)\}} \quad (37)$$

A kifejezésből csak ω'_c értéke ismeretlen. Az átviteli függvény átírható a következő alakra:

$$\begin{aligned} W(j\omega) &= \frac{2.146}{(0.692j\omega + 1)(56.4j\omega + 1)} = \frac{2.146}{-39.03\omega^2 + 57.092j\omega + 1} \\ &= \frac{2.146}{(1 - 39.03\omega^2) + j \cdot 57.092\omega} \end{aligned} \quad (37)$$

A valós és a képzetes részek különválasztandók:

$$W(j\omega) = \frac{2.146}{(1-39.03\omega^2) + j \cdot 57.092\omega} = \frac{(1-39.03\omega^2) - j \cdot 57.092\omega}{(1-39.03\omega^2)^2 + 57.092^2} \cdot \frac{2.146}{(1-39.03\omega^2) + j \cdot 57.092\omega} =$$

$$= \frac{2.146 - 83.7584\omega^2 - j \cdot 122.3842\omega}{(1-39.03\omega^2)^2 + 57.092^2} = \underbrace{\frac{2.146 - 83.7584\omega^2}{(1-39.03\omega^2)^2 + 57.092^2}}_{\text{Re}\{W(j\omega)\}} + j \cdot \underbrace{\frac{-122.3842\omega}{(1-39.03\omega^2)^2 + 57.092^2}}_{\text{Im}\{W(j\omega)\}} \quad (38)$$

Ha a fázisértéket behelyettesítjük, a körfrekvenciára a következő egyenlet adódik:

$$\tan \varphi = \tan(-150^\circ) = 0.5774 = \frac{\frac{-122.3842\omega}{(1-39.03\omega^2)^2 + 57.092^2}}{\frac{2.146 - 83.7584\omega^2}{(1-39.03\omega^2)^2 + 57.092^2}} = \frac{-122.3842\omega}{2.146 - 83.7584\omega^2} \quad (39)$$

Átrendezve:

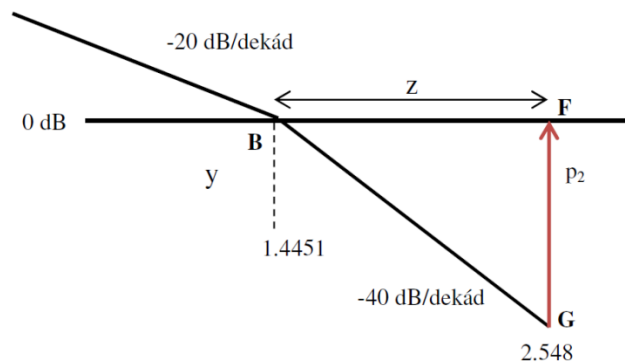
$$\frac{-122.3842\omega}{2.146 - 83.7584\omega^2} = 0.5774 \rightarrow -48.3621\omega^2 + 122.3842\omega + 1.2391 = 0 \quad (40)$$

A másodfokú egyenlet megoldóképletét alkalmazzuk:

$$\omega_{1,2} = \frac{-122.3842 \pm \sqrt{122.3842^2 + 4 \cdot 1.2391 \cdot 48.3621}}{-2 \cdot 48.3621} = \begin{cases} 2.548 \\ -0.0174 \end{cases} \text{ rad/s} \quad (41)$$

$$\omega'_c = 2.548 \text{ rad/s} \quad (42)$$

Az új vágási körfrekvencia ismeretében már meghatározható a p_2 érték, melyet az alábbi ábrából olvashatunk le:



10. ábra: A 9. ábrán zöld szaggatott vonallal jelzett terület vizsgálata

p_2 valójában az **FG** szakasz hossza, mely a **BGF** háromszög egyik befogója. A befogó hossza a korábbiakhoz hasonlóan a **BF** szakasz z hosszának és a **BG** szakasz meredekségének szorzata, ahol z az **F** pont távolságát adja meg **B**-től dekádban. Így:

$$\overline{FG} = p_2 = z \cdot 40 \frac{dB}{dekád} \quad (43)$$

$$1.4551 \cdot 10^z = 2.548 \rightarrow z = \log \frac{2.548}{1.4551} = 0.2433 \text{ dekád} \quad (44)$$

$$p_2 = 40 \cdot 0.2433 = 9.732 \text{ dB} \quad (45)$$

A rendszer végső nagyítása p_1 és p_2 nagyítások összege (decibelben):

$$P = p_{1dB} + p_{2dB} = 31.626 \text{ dB} + 9.732 \text{ dB} = 41.3580 \text{ dB} = 10^{\frac{41.3580}{20}} = 116.923 \quad (46)$$

A P-szabályzót a következő alakú PI-szabályzóra bővítjük:

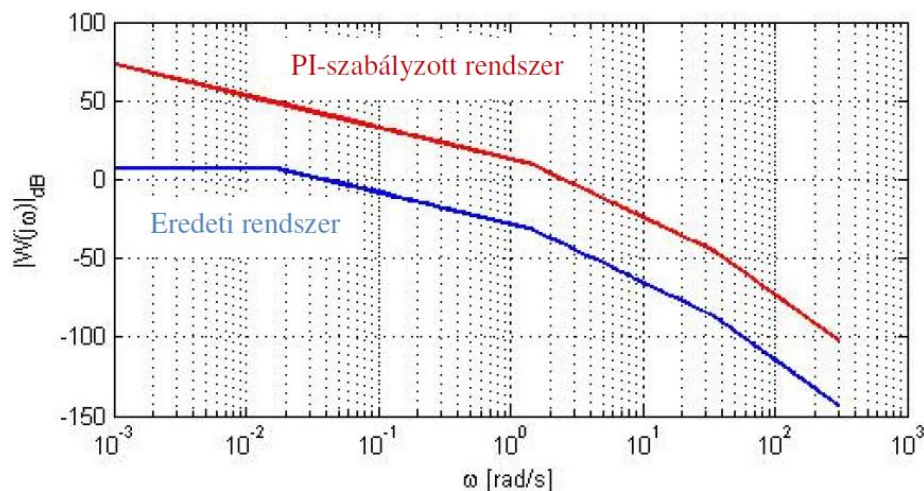
$$W_c(s) = P \frac{T_I s + 1}{T_I s} \quad (47)$$

Ökölszabály szerint T_I értékét úgy választjuk meg, hogy $T_I s + 1$ megegyezzen a szabályozni kívánt rendszer legnagyobb időállandójú tagjával (a legkisebb frekvenciájú töréshoz köthető taggal), mely esetünkben $T_1 = 56.4 \text{ sec}$.

Ennek felhasználásával a szabályzó végleges alakja a következő:

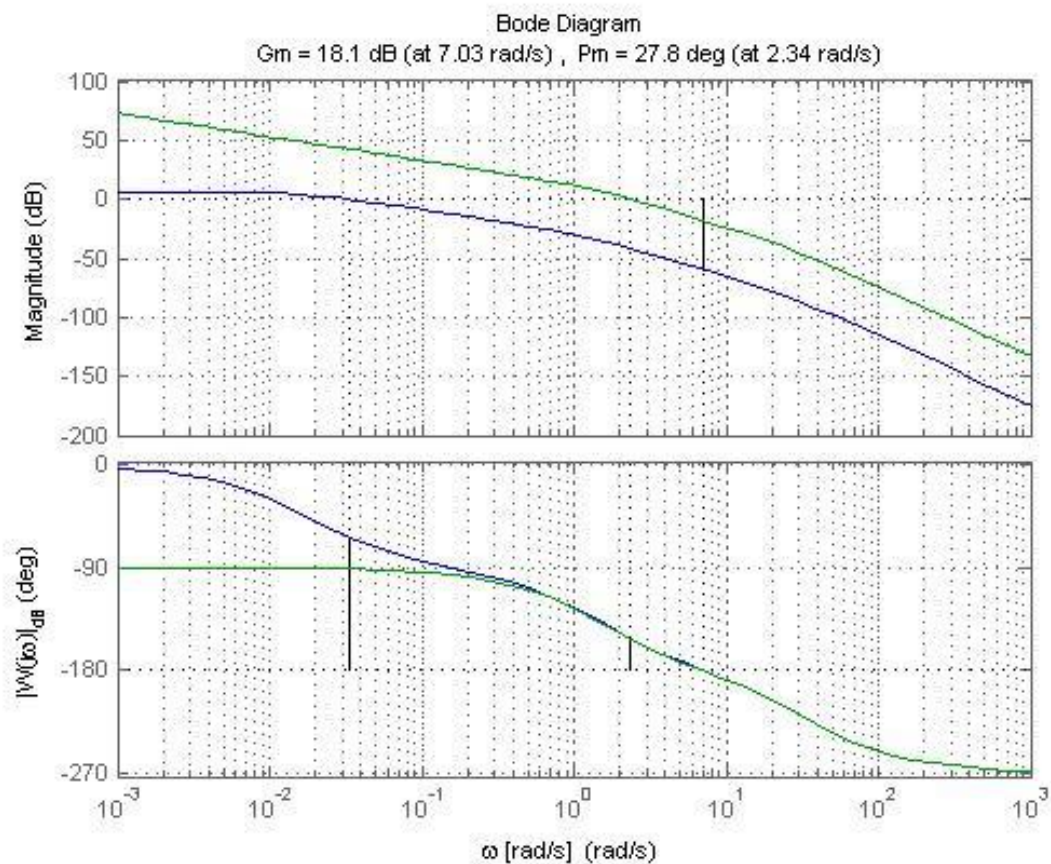
$$W_c(s) = P \frac{T_I s + 1}{T_I s} = 116.923 \cdot \frac{56.4s + 1}{56.4s} = \frac{56.4s + 1}{0.4824s} \quad (48)$$

A szabályozott rendszer közelítő Bode-diagramja:



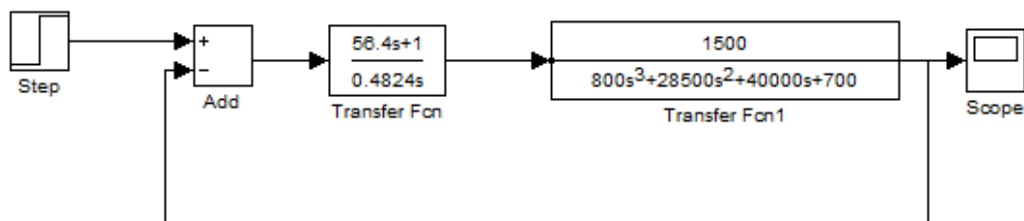
11. ábra: A Szabályozott rendszer közelítő Bode-diagramja

A pontos Bode amplitúdó- és fázisdiagramok a MATLAB programcsomaggal előállíthatóak és ellenőrizhetőek:



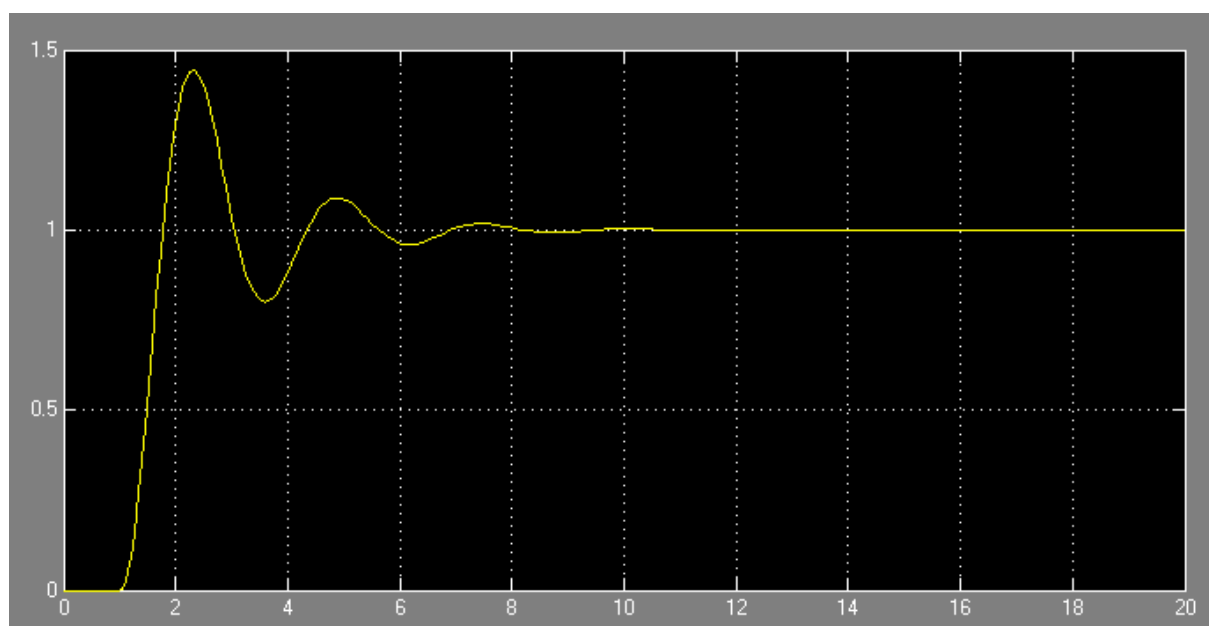
12. ábra: A Bode-diagramok ellenőrzése MATLAB segítségével

Hogy a PI-kompenzációs szabályzás valóban működik, ellenőrzésképpen MATLAB Simulink környezetben megépíthető a szabályozókör modellje:



13. ábra: A rendszer modellje a MATLAB Simulink programban

A rendszer bemenetére egységugrást megadva a 14. ábrán látható, hogy rendszer jól követi a referenciajelet. A szabályzó paraméterei ezek után módosíthatóak a szabályzás minőségi követelményeinek (túllövés, szabályozási idő stb.) figyelembe vételével.



14. ábra: A szabályozott rendszer válasza az egységugrás-referenciajelre

Az előadás összefoglalása

Ebben az előadásban láthattuk, hogyan tervezhetünk meg kézzel egy egyszerű PI-szabályzót a feltüntetett dinamikai rendszerhez. Fontos kiemelni, hogy a rendszer átviteli függvényének meghatározása csak a szabályozótervezés első, szükséges lépése, így az alapvető fizikai ismeretek elengedhetetlenek a sikeres szabályozótervezéshez. Láthattuk, hogyan kapcsolódnak az elektronikai és mechanikai rendszerek egymáshoz, hogyan határozhatjuk meg a rendszer bemenetének hatását a kimenetre, hogyan áll össze egy, a már korábbi előadásokban is tárgyalt alakú átviteli függvény, és hogyan tervezhetünk PI-szabályzót a levezetett rendszerhez „kézi” módszerekkel. A szabályozótervezésnek természetesen más, kidolgozottabb módszerei is léteznek, melyekről a következő előadásokban lesz szó.

Ellenőrző kérdések

1. A vázolt feladatban hol kapcsolódnak a DC-motor áramkörét és a mechanikai rendszer mozgását leíró egyenletek?
2. Milyen közelítésekkel élünk a Bode-diagram kézi megrajzolásakor? Milyen esetekben jelentkeznek nagy hibaértékek a Bode-diagram ilyen módú megrajzolása esetén?
3. PI-szabályozótervezés esetén az I tagot miért a legnagyobb időállandójú taghoz igazítjuk? Milyen veszélyeket rejthet az I tag hozzáadása a rendszer stabilitásának szempontjából?
4. Hogyan ellenőrizhetjük legegyszerűbben (számítógép nélkül), hogy a vágási körfrekvenciát jól számoltuk-e?
5. Hogyan módosulna a fenti szabályozótervezési módszer, ha PI szabályozó helyett PD vagy PID szabályozót terveznénk a rendszerhez? Mi lenne a Bode-diagram „mozgatásának” sorrendje?